

离子交换吸附 L-色氨酸的研究

刘 芳 谢丽敏* 沈忠耀

(清华大学化工系 北京 100084)

L-色氨酸是含吲哚环的芳香族氨基酸，也是人类必需的氨基酸之一，目前，工业上除部分采用化学合成法外，主要采用前体发酵法和酶促转化法生产^[1]。随着在医药、食品和饲料加工中应用的开拓，市场的需求量日益增加，色氨酸生产具有广阔前途。

和其它生物工程产品一样，色氨酸工业生产也常常会受到生产成本的制约，这也是至今为止我国的色氨酸仍主要依靠进口的重要原因之一^[2]。而在生产成本的构成中，分离提取等下游工程的成本占有相当的比例。据报道，从发酵液中分离色氨酸的方法有离子交换法^[3~5]、结晶法^[6~8]、有机溶剂萃取法^[9]、活性炭吸附法^[10]、碱金属盐沉淀法^[11]、模拟移动床法^[12]、CO₂超临界萃取法^[13]和毛细管电泳法^[14]等。本文以离子交换吸附法对各类树脂的性能进行了系统的比较和筛选，并对筛选出的树脂进行了动态吸附和洗脱过程研究，现将结果报道如下。

1 材料与方法

1.1 树脂

阳离子树脂：1、2、3号树脂由南开大学和上海树脂厂生产，使用前用饱和NaCl、乙醇、HCl及NaOH处理，用HCl转成H⁺型。阴离子树脂：4、5、6号树脂，化工部成都有机硅研究中心提供，使用前处理成OH⁻型。中性吸附剂：7~15号树脂，南开大学生产，使用前经NaCl、乙醇、HCl及NaOH溶液处理后洗至中性。

1.2 L-色氨酸水溶液

将L-色氨酸晶体（日本进口分装，中科院百泰公司经销），配制成所需pH及浓度为6mg/ml L-色氨酸水溶液（以下简称料液）。

1.3 实验方法

1.3.1 静态吸附和洗脱实验：称取经过预处理的一定量的树脂于250ml三角瓶中，加入一定量的料液，在空气浴恒温振荡器上，以转速100r/min及25℃振荡，取样分析，当溶液中色氨酸浓度不变时为吸附平衡。然后，称取一定量的吸附平衡后的树脂，加入一定量的洗脱液，在25℃、转速100r/min下振荡，取样分析，当溶液中色氨酸浓度不变时为洗脱平衡。

1.3.2 动态实验：柱径0.94cm，装填高度16.7cm，树脂装填体积（湿体积）11.6ml，上柱温度室温，料液pH=7，洗脱剂为氨水，用自动部分收集器收集样品。

1.4 分析方法

L-色氨酸浓度用福林-酚试剂法（Folin 试剂法）测定^[15]。

2 结果与讨论

2.1 树脂的筛选

对15种树脂分别进行了吸附和洗脱性能的比较，结果见表1~2。从表1可见，1、2、5、6、7、12和14号树脂吸附率较高。从表2可见，对吸附型树脂，乙醇—水洗脱效果明显优于氨水和硫酸，其中

* 现在中科院上海生物工程研究中心。

本文于1995年2月24日收到。

12和14号树脂洗脱率较高。对阳离子树脂氨水是较理想的洗脱剂，而对阴离子树脂则洗脱率较低，若使用阴离子树脂，应重新选择洗脱剂。

表1 树脂吸附性能的比较

树脂编号	离 子 型						吸 附 型								
	1	2	3	4	5	6	7	8	9	10	11	12	13	14	15
吸附量/mg·g ⁻¹	39.89	39.86	13.33	13.33	34.32	31.82	39.74	18.24	18.31	17.73	16.63	35.90	18.74	34.99	21.07
吸附率/%	99.72	99.65	33.33	33.33	85.80	79.55	99.35	45.60	45.77	44.32	41.58	89.75	46.85	87.47	52.68

料液 pH: 1~3.3; 4~15.7。树脂用量: 1~6.1.5g; 7~15.3g。加料量: 1~6.10ml; 7~15.20ml。平衡时间: 1~6.24h; 7~15.15h

表2 树脂洗脱性能的比较

树 脂 编 号	1	2	5	6	7	12	14	
洗脱率/%	2mol·L ⁻¹ 氨水	89.37	86.20	37.25	39.72	4.79	30.00	29.23
	50%乙醇—水	—	—	—	—	10.09	76.53	58.60
	pH=2 硫酸	—	—	—	—	0.57	8.87	5.13

树脂用量: 1.5g; 洗脱剂用量: 10ml; 洗脱平衡时间: 1, 2, 5, 6, 24h; 7, 12, 14, 20h。

2.2 离子交换吸附条件的研究

2.2.1 料液 pH 值对树脂吸附量的影响: 分别测定了 0.5g 1、2、5、12 和 14 号树脂吸附 10ml 不同 pH 值料液的吸附量, 结果见图 1。从图 1 可知, 料液 pH 值对几类树脂吸附性能的影响都不明显, 1、2 号树脂的吸附量为 100mg/g, 5、12 和 14 号树脂在 30~50mg/g 之间。

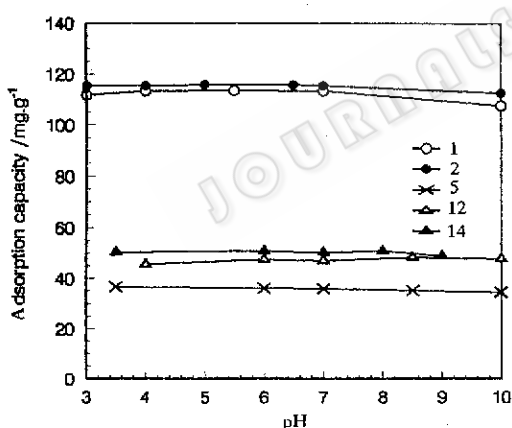


图 1 pH 值对树脂吸附量的影响

2.2.2 加料量对树脂吸附率的影响: 为对各种树脂的吸附潜力进行比较, 测定了加料量对树脂吸附率的影响, 结果见表 3。从表 3 可见, 随着加料量的增加, 5、6、12 和 14 号树脂的吸附率都明显下降, 而 1 号和 2 号树脂的吸附率无明显变化, 说明阳离子树脂的吸附潜力明显大于其他两类板脂。

表3 加料量对树脂吸附的影响

树脂编号	1	2	5	6	12	14
吸 附 率 / %	99.72	99.65	85.80	79.55	89.75	87.47
加 料 量 / ml	10	15	20	30	35	40
	99.93	99.60	73.16	57.57	81.92	83.73
	99.38	99.40	63.13	57.57	74.78	80.15
	98.38	55.90	61.12	67.29	73.64	

树脂用量: 1.5g; 料液 pH: 1~2. pH=3; 5, 6, 12, 14. pH=7.

2.2.3 树脂动力学性质的比较: 图 2 描述了各类树脂的静态吸附速率曲线 (树脂用量 1.5g, 加料量 10ml)。从图 2 上可以看到, 阳离子树脂 1 号和 2 号的吸附速率远远大于 5 号和 12 号树脂, 即阳离子树脂达到吸附平衡所需的时间短, 各类树脂的吸附动力学方程见表 4。

表4 各类树脂的吸附动力学方程

树脂编号	1	2	5	12
方程	$\ln(C-0.15) = 0.08 - 0.008t$	$\ln(C-0.095) = -0.785 - 0.004t$	$\ln(C-2.585) = 0.36 - 0.003t$	$\ln(C-1.918) = 0.324 - 0.005t$

C/g·L⁻¹; t/min

综合以上实验结果, 适合于从水溶液中吸附色氨酸的是 1 号 2 号阳离子树脂。

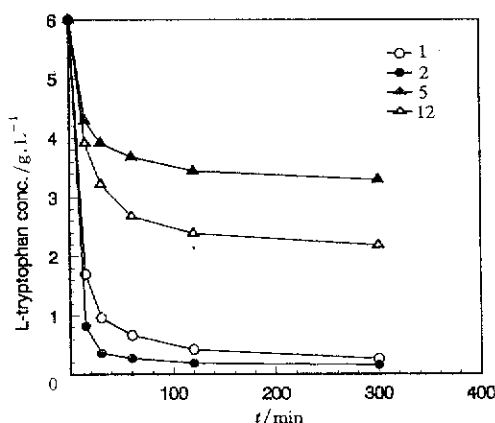


图 2 各类树脂的吸附动力学曲线

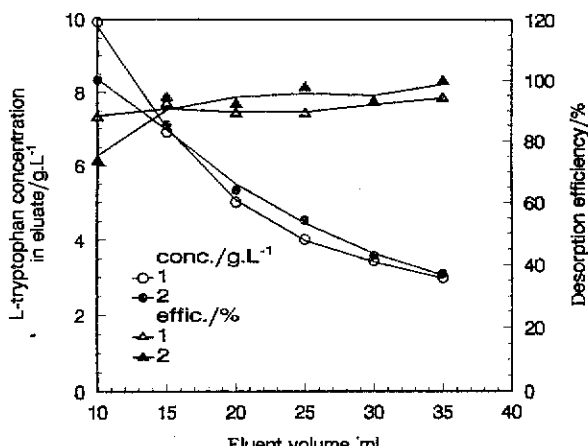


图 3 洗脱剂用量对树脂洗脱性能的影响

2.2.4 洗脱剂用量对洗脱率的影响：图 3 给出了当 2mol/L 氨水用量从 10ml 提高到 35ml 时，1 号和 2 号树脂洗脱率的变化曲线（树脂用量 1.5g，料液 10ml）。图 3 表明，洗脱剂用量增加，洗脱率提高，但洗脱液中色氨酸浓度下降。

2.3 树脂动态性能的研究

2.3.1 动态吸附曲线：图 4 为 0.01、0.02 和 0.04ml/ml·min 三种流速下 2 号树脂的动态吸附曲线。由图积分得饱和吸附容量分别为 135.7、132.6 和 129.1mg/ml（湿树脂）。可见，流速对饱和吸附容量影响不大。

2.3.2 动态洗脱曲线：采用 4 种方法进行洗脱：

1. 0.5mol/L 氨水 0.01ml/ml·min 恒速洗脱；
2. 氨水浓度梯度洗脱；
3. 0.5mol/L 氨水变速洗脱；
4. 1mol/L 氨水变速洗脱，结果见表 5。综合比较可知，第四种方法最佳。

表 5 几种洗脱方法比较

方法	洗脱率 / %	浓缩倍数 / 倍	操作时间 / h	氨水用量 / mol
1	99.8	1.79	10	0.085
2	99.2	3.73	2.9	0.075
3	98.5	3.72	6.5	0.068
4	99.4	3.68	2.8	0.070

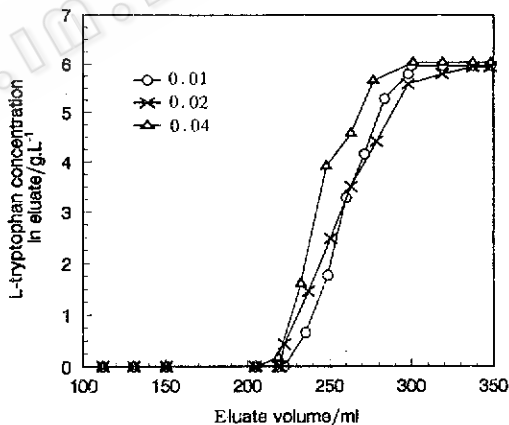


图 4 2 号树脂在不同流速下的动态吸附曲线

参 考 文 献

- [1] 张炳荣. 氨基酸工业大全. 北京: 轻工业出版社, 1991, 84~87.
- [2] 吴志纯. 生物工程进展. 1989, 9 (5): 24~28.
- [3] Shokei N, Naohiro M, Kiyoo M. EP428984, 1991.
- [4] Ohaka M, Yoshikawa Y, Kawashima N et al. FR2557872, 1985.
- [5] Bernard B, Guy G, Alexandre L C et al. FR2581654, 1986.
- [6] Yoshinari S, Ryuta T, Masaru S. WO9009372, 1990.
- [7] Terumi O, Futoshi T, Michio S. JP9147160, 1991.
- [8] Shuichi A, Shoji A, Takeshi S et al. JP8700288, 1987.
- [9] Stierman T J, and Mattison P L. EP353728, 1990.

- [10] Seiya I, Shinji O, Hiroshi K *et al.* JP9016990, 1990.
- [11] Ohoka M, Yoshikawa Y, Kawashima N *et al.* FR2557873, 1985.
- [12] Kentaro H, Yoshia F, and Sadao H. US4923616, 1990.
- [13] Teruo S, Masatoshi Y, Nariyuki E *et al.* JP902238887, 1990.
- [14] Salvatore F, and Petr B. Electrophoresis, 11 (9): 757~760, 1990.
- [15] 鲁子贤. 蛋白质和酶学研究方法, 北京: 科学出版社; 3~4, 1989.

Study on Adsorption of L-tryptophan by Ion Exchange

Liu Fang Xie Limin Shen Zhongyao

(Department of Chemical Engineering, Tsinghua University, Beijing 100084)

Abstract Two cation exchangers were selected out for separating L-tryptophan from aqueous solution by comparing thermodynamic and kinetic properties among fifteen ion-exchangers and adsorption resins. They had stronger adsorption capacity for L-tryptophan when pH was between 3 and 10. Dynamic test of cation exchanger showed that the saturated adsorption capacity kept almost constants when the flow rate varied from 0.04 to 0.01 ml/ml · min. The adsorption efficiency achieved 99.4% and the eluate was condensed 3.68 times by using 1 mol/L ammonia solution at the flow rate from 0.05 to adsorptin 0.025 ml/ml · min. The total yield of L-tryptophan was 95% in the process.

Key words L-tryptophan, ion-exchange, adsorption